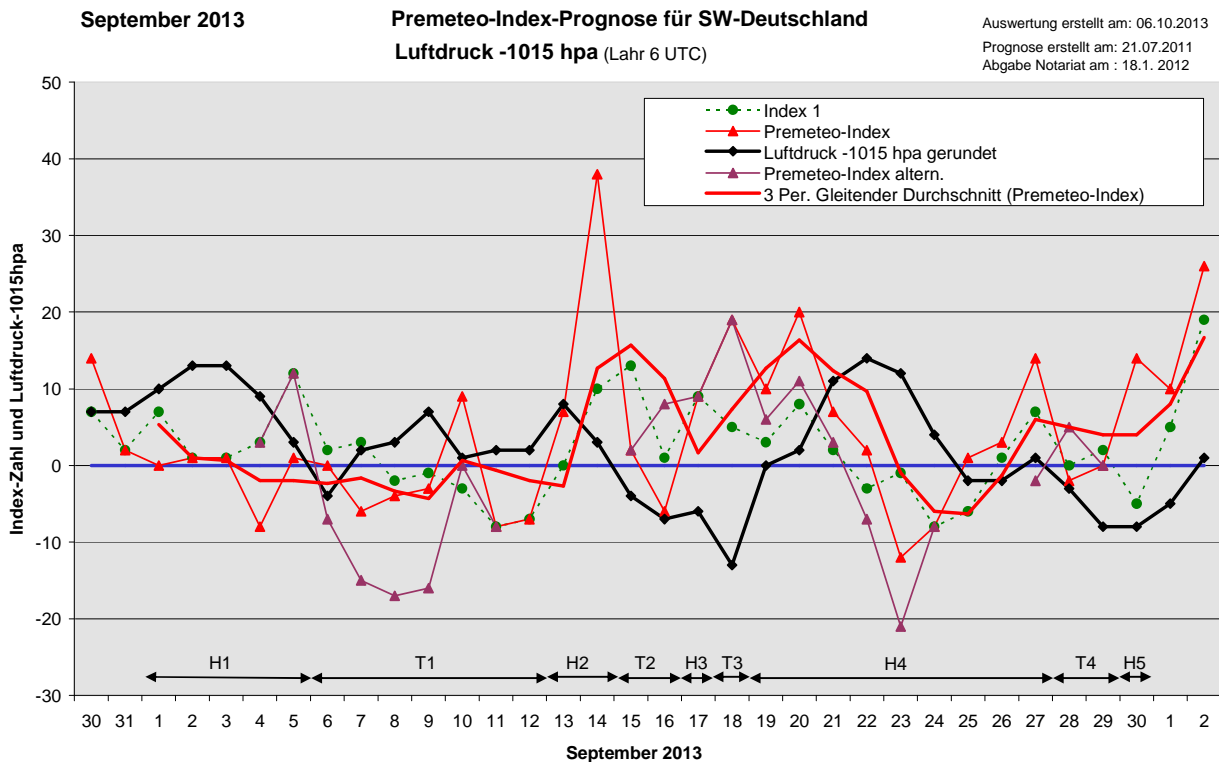


## Wetterlagenverlauf September 2013 im Vergleich zur Premeteo-Indexprognose für Südwest-Deutschland

(Im Diagramm sind über der Datumsachse die real eingetreten Hoch- und Tiefdruckphasen durch Doppelpfeile eingetragen. Ausschlaggebend für die Evaluation ist der tägliche Premeteo-Index, in der dünneren, roten Linie mit Dreieckspunkten dargestellt. Ein negativer Premeteo-Index zeigt die Wahrscheinlichkeit für eine zyklonale Tiefdruckströmung, ein positiver Premeteo-Index die Wahrscheinlichkeit für eine antizyklonale Hochdruckströmung an.

Die Wetterlagenbeschreibungen wurden anhand der Berliner Wetterkarten erstellt. Ausschlaggebend ist die Europa-Bodenkarte um 0 UTC, die feiner skalierte 12 UTC-Karte von Mitteleuropa wird nur bei einem Wetterlagenwechsel für die Einordnung des Tages hinzugezogen.)



**Hochdruckphase 1:** Hoch Hanna folgte Hoch Gerlinde vom Ostatlantik nach und lagerte mit seinem Kern bis zum 3. September über Großbritannien. Der Luftdruck war entsprechend hoch und das Wetter besser als der Premeteo-Index anzeigte, der sich nur im flach positiven Bereich bewegte. Auf 500 hpa lag die Region im Grenzbereich zwischen zyklonaler und antizyklonaler Strömung. Am 4. lag der Premeteo-Index als einzelner negativer Tag bei -8 und nun setzte deutlicher Druckfall ein, doch blieb die Region bis zum 5. im Einflussbereich von Hoch Hannah, das nach Osten über die Ostsee weitergewandert war. Der Premeteo-Index summierte auf -5.

**Tiefdruckphase 1:** Am 6. nahm Tief Nandor über der Nordsee Einfluss, gefolgt von Tief Obama am 8. und Tief Polykarp am 9., die zum Teil kräftigen Niederschlag brachten. Ab dem 10. war es wieder Tief Nandor, das die Wetterlage bestimmte. An diesem Tag lag der Premeteo-Index als einzelner positiver Tag bei +9 durch die Symmetrie Mer 2 Mak GSZ (17) H H +14 vom Vortag. Tief Nandor zog von den Niederlanden zur Ostsee und bestimmte in Übereinstimmung mit dem Premeteo-Index bis zum 12. das Wetter. Der Premeteo-Index summierte auf -19.

**Hochdruckphase 2:** Am 13. dehnte sich das Azorenhoch bis über SW-D aus und blieb in einem schmalen, flachen Keil noch bis zum 14. bestehen. Ein deutlicher Keil zeigte sich auch auf 500 hpa, der Premeteo-Index hatte eine steile Spitze von +38, doch das Wetter war stark von den Wolkenfeldern des Tief Quentin II über der Nordsee bestimmt, so dass die Symbolprognose falsch war. Der Premeteo-Index summierte auf +45.

**Tiefdruckphase 2:** Am 15. verlängerte ein Tief über Frankreich den Trog von Tief Quentin III über der Nordsee nach Südwesten und am 16. dehnte sich Tief Roland über dem Nordmeer

bis in unsere Region aus und brachte zum Teil kräftige Niederschläge. Die Zyklonalität war kräftiger als vom Index erwartet. Die besondere Konstellation war, dass sich Merkur und Uranus in Opposition gegenüberstanden und beide einen 90°-Winkel zum Mondapogäum bildeten. Beide Merkuraspekte sind T-Aspekte, trugen aber aufgrund der geringen Rangordnung Merkurs wenig zur Absenkung des Index bei. Der Premeteo-Index summierte -4.

**Hochdruckphase 3:** Am 17. setzte sich unter Einfluss kalter Luftmassen das Azorenhoch für einen Tag durch. Der Premeteo-Index betrug +9.

**Tiefdruckphase 3:** Am 18. setzte sich Tief Schorsch mit starkem Wind und Regen von Nordwesten her durch. Dies war nicht in Übereinstimmung mit dem Index, der bei +19 lag. Der hohe, positive Index kam zustande durch eine Chiron-H-Symmetrie. Inzwischen werden Chiron-Symmetrien für die Prognosen nicht mehr verwendet. Die Prognose dieses Monats war schon im Juli 2011 erstellt worden. Die Konstellation war geprägt durch zwei Venus-Aspekte mit T-Impuls und zwei neutrale Venus-Aspekte: VEN 45 QUA T, VEN 0 SAT A, VEN 60 PLU T, VEN 0 KN1 A. Die Konjunktion mit Saturn hatte den Auslöseaspekt SAT 45 QUA H\*, der den höchsten Rang hatte und deshalb angerechnet wurde. Möglicherweise waren die Venus-T-Impulse durch die Konjunktion mit dem Mondknoten gegenüber dem Auslöseaspekt dominant.

**Hochdruckphase 4:** Schon am 19. lag unsere Region im Isobarenbereich des Azorenhochs, was sich in einzelnen Auflockerungen und der verminderten Niederschlagsneigung bemerkbar machte. Der Premeteo-Index war im Gegensatz zum Luftdruck fallend, aber positiv. Die Region lag auf 500 hpa in einer antizyklonalen nördlichen Strömung. Am 23. fiel der Premeteo-Index auf -12 ab, was hauptsächlich durch zwei Symmetrien zustande kam, an denen jeweils Makemake beteiligt war. Interessant war hier besonders die Konjunktionssymmetrie Son 1° Mak GSZ A T -7, weil sich hier ein erster Hinweis auf Mak 0° GSZ als H\*-Impuls andeuten könnte. Hoch Jette bestimmte im westlichen Mitteleuropa zwar weiter die Wetterlage, doch trat mit dem negativen Index auch ein starker Luftdruckfall ein, der am 26. sein Minimum erreichte. Südwestdeutschland lag dabei weiterhin im Isobarenbereich von Hoch Jette, das nun mit seinem Kern über Italien lag. Die Wolkenfelder von Tief Ulli über Norddeutschland brachten geringfügig Regen. Am 27. kam die Region in den Einflussbereich von Hoch Karin über der Nordsee. Der Premeteo-Index summierte auf +33.

**Tiefdruckphase 4:** Am 28. setzte sich ein Tief über dem Ostatlantik bis nach Südwestdeutschland mit seinem Isobarenbereich flach durch. Als Tief Vitali zog es nach Frankreich und brachte am 29. Regen. Der Premeteo-Index summierte auf -2.

**Hochdruckphase 5:** Am 30. kam die Region erneut flach unter den Einfluss von Hoch Karin über Skandinavien. Der Premeteo-Index betrug +14.

### **Zusammenfassung:**

Der Prognosemonat September 2013 war bezüglich der Indexprognose recht erfolgreich. Nur 6 Tage waren mit dem falschen Vorzeichen prognostiziert. Bei der Symbolprognose waren 5 Tage falsch, aber nur 8 Tage genau richtig prognostiziert. An den 17 tendenziell richtig angegebenen Tagen war es in 14 Fällen immer dichter bewölkt als erwartet.

SW-D befand sich an 18 Tagen im Einflussbereich antizyklonaler Strömung. Die Summe des prognostizierten Premeteo-Index für diese Tage ergibt +100, was einer Indexzahl von +5,56 pro Tag entspricht.

An 12 Tagen befand sich SW-D im Einflussbereich zyklonaler Strömung. Die Summe des prognostizierten Premeteo-Index für diese Tage ergibt -6, was einer Indexzahl pro Tag von -0,5 entspricht.

Die Prognose durch die Premeteo-Wettersymbole war an 5 Tagen falsch (am 18. – 20., 23., 24. ), an 8 Tagen richtig und an 17 Tagen tendenziell richtig.

September 2013  Prognose für SW-Deutschland

Vom 18. bis zum 20. 9. 2013 sind Venus, Saturn und aufsteigender Mondknoten in Dreifachkonjunktion.

01.09.2013											
Langsamläufer-Impulse	H*		H*		H*		H*		A(H)*		H*
Schnellläufer-Impulse	H	H	T	H	T, H	H	3H, T	2T, 3H	H, Tf		T, H, Tf
Temperaturimpulse	W	W	K		K		W	W*			
Premeteo-Index -zyklonal, + antizyklonal (Index 1+2+3)	0	1	1	-8	1	0	-6	-4	-3		9
Pre.IX (ALTERNATIV)				3	12	-7	-15	-17	-16		0
Index 1 (12 - 12 UTC) exakte Aspekte des Tages	7	1	1	3	12	2	3	-2	-1		-3
Index 1(ALTERNATIV)								-6	-5		
Symmetrien (0 - 0 UTC)		Chi 7op Orc Mer (13) T* (2/4) A -??	Nep 7op Son Ves (03) H W A* +?? Ves 23 Mar Mer (08) H Mer 9 Son Mak (13) H H +?? Nep 1op Orc Cer (13) ? A* ? Ura 9op Ven GSZ (14) A H?(3/1) +??	Orc 7 Son Ves (13) H H* +?? Mer 10 Son GSZ (20) H H +??		Mak 3 GSZ Mer (19) ? H +7/0	Sed 151 Ven Qua (03) H A*(9) A +7 Mer 15op Ura Chi (04) H*(8/3) (+7) Mer 22 Hau Cer (11) H*(+14) Mer 22 Orc Hau (13) T*-14 Ura 15op Ven Mer (16) T K-7 Mar 72 Sed Hau (18) H H H?(7/1) +14 Chi 135 Ven Var (23) T A?(5,5/3) H-7	Eri 4op Ven Hau (00) A ? ? ? Mar 22 Jup Ves (10) T- Pal 145 Nep Qua (23) A* A* ? ?	Chi 6op Son Cer (10) T H* ? Mer 2 Mak GSZ (17) H H +14 Chi 6op Son Orc (22) T T?*(2/4) -??		
Index 2 (12 -12 UTC)	-7	0	0	0	0	7	-7	0	0		14
Index 2 ALTERNATIV											
ausgelöste LL-Aspekte		Hau 144 Sed H11 Orc 45 Hau T-11 Nep 135 Hau 70 #		Var 150 GaZ T?(1/4)-11/0	Var 150 GaZ T?(1/4)-11/0	Mar 30 Orc H4 Orc 45 Hau T-11 Ura 144 Orc H?(60,5) 9/0 Var 150 GaZ T?(1/4)-11/0	Orc 45 Hau T-11 Ura 144 Orc H?(60,5) 9/0	Orc 45 Hau T-11 H?(60,5) 9/0	Orc 45 Hau T-11 H?(60,5) 9/0	Orc 45 Hau T-11 H?(60,5) 9/0	Orc 45 Hau T-11 H?(60,5) 9/0
Index 3 (Summe)	0	0	0	-11	-11	-9	-2	-2	-2		-2
Index 3 ALTERNATIV				0	0	0	-11	-11	-11		-11
Symbol-Prognose	3	3	3	3	3	3	3	3	3		3
Symbol-Prognose altern.	3	3	3	3	2	3	5	5	5		3
Wochentag	So	Mo	Di	Mi	Do	Fr	Sa	So	Mo	Di	Di
Datum	1	2	3	4	5	6	7	8	9	10	10
reale Wetterlage	H1: 3H*, 4H - 2T / -5					T1: T*, 2Tf, 5T - 2H*, 10H / -19					
Luftdruck (hpa) 06 UTC	1025,3	1027,7	1028,2	1024,3	1017,7	1011,2	1016,9	1017,5	1021,7	1015,9	
mittl. Temp.(°C)	16,3	16,2	17,5	19,9	21,9	22,4	20	17,2	16,3	14	
Sonnenscheindauer (h)	4,5	9,7	12,3	12	12,2	9	3,2	1,5	7,5	3,8	
Niederschlag (Liter)	.	.	.	.	.	2 / 2?	14 / 14?	7 / 9?	5 / 1,5	0,8 / 8	
Bodenwetterlage 00 UTC (Kernlage des Druckgebiets, das SW-D beeinflusst)	H ü O-Atl	H ü O-Atl	H ü SW-GB	H ü D	H ü Osee	T ü Nsee	T ü GB	T ü W-D	T ü Tschech	T ü Benel	
Bodenströmung 12 UTC zyklonal (z), antizyklonal (a)	a	a	a	a-z	fl z	z	z	a	a	a-z	
Strömung auf 500 hpa 00 UTC	NW fl z	NW a-z	NW a-z	a	a	a	SW fl z	S a-z	SW z	W z	
zutreffende Wettersymbole	3 r	2 hr	2 hr	2 hr	2 hr	2 hr	3 r	5 hr	3 r	5 hr	

Übertrag	05:38	08:34	00:02	00:29	00:42	03:53	00:37	00:25	06:09	09:02
Index 1: +2	VEN 144 SED	CER 30 GSZ	MAR 150 NEP	SON 150 URA	VEN 180 ERI	PAL 150 GaZ	MAR 72 SED	VEN 135 CHI	SON 144 ERI	MAR 135 QUA
Index 2: -7	WAA 18*20'23"	JUN 02*14'53"	LÖW 03*46'33"	JUN 11*39'11"	WAA 22*46'01"	KRE 26*56'22"	LÖW 06*19'43"	WAA 26*14'28"	JUN 16*44'05"	LÖW 08*26'38"
	STI 24*20'24"	WAA 02*14'54"	FIS 03*46'33"	WID 11*39'10"	WID 22*46'01"	SCH 26*56'22"	STI 24*19'44"	FIS 11*14'28"	WID 22*44'04"	SCH 23*26'38"
	A	A*	A K	A	A	A*	H+4	T-2	H+3	T-4
	08:47	09:49	00:49	12:49	01:46	08:57	00:40	01:12	10:01	11:14
	SON 120 PLU	VEN 45 ORC	URA 135 VES	MER 72 APO	MER 150 ERI	VEN 150 SED	CHI 135 VAR	CER 0 ORC	URA 144 CER	VEN 30 FY9
	JUN 09*04'55"	WAA 19*42'42"	WID 11*41'08"	JUN 21*49'02"	JUN 21*49'02"	WAA 24*19'50"	FIS 11*17'17"	JUN 04*50'39"	WID 11*28'01"	WAA 29*04'55"
	STE 09*04'55"	JUN 04*42'41"	LÖW 26*41'07"	KRE 09*49'03"	WID 22*45'60"	STI 24*19'50"	KRE 26*17'17"	JUN 05*28'01"	JUN 05*28'01"	JUN 29*04'55"
	A	A	A*	A	A	H+2	A*(5,5/3)	A	H+3	A
	14:23	17:36	00:59	13:17	03:53	14:30	02:31	01:46	11:08	14:09
	PAL 60 SED	MER 45 MAR	MER 30 EL6	MAR 30 ORC	MER 30 VEN	MER 45 KN1	MER 60 VAR	VEN 90 VAR	MAR 90 SAT	PAL 144 QUA
	KRE 24*20'22"	JUN 18*36'18"	JUN 19*09'31"	LÖW 04*45'43"	JUN 22*55'17"	JUN 25*25'43"	JUN 26*17'21"	WAA 26*18'23"	LÖW 07*52'08"	KRE 29*26'40"
	STI 24*20'22"	LÖW 03*36'19"	WAA 19*09'32"	JUN 04*45'43"	WAA 22*55'17"	SKO 10*25'45"	KRE 26*17'22"	KRE 26*18'24"	SKO 07*52'08"	SCH 23*26'40"
	H*+5	H+1	A	H+4	T K-1	A	H---	H---	Tf---/10	A*
	15:21	22:57	13:54	21:44	03:55	16:58	10:13	02:33	22:11	15:40
	VEN 135 NEP	SON 60 KN1	SON 45 VAR	MER 45 SAT	MAR 180 JUN	CER 45 EL6	NEP 144 PAL	VEN 30 FY9	PAL 60 FY9	MER 0 GSZ
	WAA 18*48'47"	JUN 10*37'19"	JUN 11*13'32"	JUN 22*28'18"	LÖW 05*08'56"	JUN 04*13'55"	FIS 03*39'23"	LÖW 29*01'38"	KRE 29*04'10"	WAA 02*14'52"
	FIS 03*48'47"	SKO 10*37'20"	KRE 26*13'31"	SKO 07*28'16"	WAS 05*08'55"	WAA 19*13'55"	KRE 27*39'23"	JUN 29*01'38"	JUN 29*04'09"	WAA 02*14'53"
	A	A W	A	A	H+8	H*---	A*	A*	A*	H+1
	16:17	14:02	22:48	04:06	18:57	11:38	03:32	11:38	03:32	23:07
	SON 45 PAL	VEN 120 GaZ	PAL 0 VAR	CHI 135 PAL	VEN 72 KN1	MER 90 GaZ	MER 60 PAL	VEN 90 PAL	WAA 29*39'18"	KRE 29*39'18"
	LÖW 26*56'22"	LÖW 26*56'22"	KRE 26*15'02"	FIS 11*22'35"	LÖW 28*25'09"	JUN 26*56'20"	JUN 26*56'20"	WAA 19*16'09"	KRE 29*39'18"	Tf-8
	KRE 24*23'04"	SCH 26*56'23"	SCH 26*56'23"	KRE 26*22'34"	SKO 10*25'10"	SCH 26*56'22"	KRE 28*03'54"	KRE 28*03'54"		
	A	H*+5	A*	H*+5	A*	T-1	A	A		
	16:31	16:59	17:01	11:01	13:48	12:19				
	MAR 144 GaZ	MER 135 JUN	SON 144 JUN	MER 90 QUA	SON 60 JUP	MAR 72 EL6	MAR 72 EL6	MAR 72 EL6		
	LÖW 02*56'23"	JUN 20*21'05"	JUN 11*21'05"	JUN 23*26'30"	JUN 15*06'06"	LÖW 07*16'08"	LÖW 07*16'08"	LÖW 07*16'08"		
	SCH 26*56'23"	WAS 05*21'05"	WAS 05*21'04"	SCH 23*26'28"	KRE 15*06'06"	WAA 19*16'09"	WAA 19*16'09"	WAA 19*16'09"		
	A	A	A	A	A	H+4/---	H+4/---	H+4/---		
	17:35	19:15		11:56	13:56	14:51				
	MER 144 ERI	SON 144 JUN	MAR 144 CHI	MAR 144 CHI	MER 72 JUP	VEN 60 GaZ	MER 72 JUP	VEN 60 GaZ		
	JUN 16*47'28"	JUN 11*21'05"	LÖW 05*21'38"	LÖW 05*21'38"	JUN 27*06'08"	JUN 27*06'08"	JUN 27*06'08"	JUN 27*06'08"		
	WID 22*47'27"	WAS 05*21'04"	FIS 11*21'39"	FIS 11*21'39"	KRE 15*06'09"	SCH 26*56'21"	KRE 15*06'09"	SCH 26*56'21"		
	H+1	A	A	A	H---	T-4	H---	T-4		
	19:30	19:15	13:19	15:35	15:35	16:38				
	SON 60 APO	SON 180 CHI	NEP 180 CER	JUN 150 ORC	VEN 72 PLU	WAS 04*50'05"	JUN 04*50'05"	VEN 72 PLU		
	JUN 09*30'52"	JUN 11*26'30"	FIS 03*42'24"	WAS 04*50'05"	WAS 04*50'05"	WAS 04*50'05"	WAS 04*50'05"	WAS 04*50'05"		
	KRE 09*30'51"	FIS 11*26'30"	JUN 03*42'24"	JUN 04*50'05"	JUN 04*50'05"	JUN 04*50'05"	JUN 04*50'05"	JUN 04*50'05"		
	A	T-6	A*	A*	A*	A*	A*	A*		
	22:01	14:36	23:17	22:50	17:25					
	VEN 0 EL6	VEN 60 QUA	MER 120 SED	CER 150 JUN	MER 0 FY9					
	WAA 19*08'15"	WAA 23*26'28"	JUN 24*19'54"	JUN 04*47'57"	JUN 29*02'29"					
	WAA 19*08'14"	SCH 23*26'28"	STI 24*19'53"	SCH 23*26'28"	WAS 04*47'58"					
	A	A	A	A	A*					
	23:19	23:17		22:09	22:46					
	VEN 30 VAR	MER 120 SED	MAR 144 CHI	VEN 60 QUA	VEN 30 VES					
	LÖW 26*11'42"	JUN 24*19'54"	STI 24*19'53"	WAA 23*26'28"	JUN 29*24'58"					
	KRE 26*11'41"	A	A	SCH 23*26'28"	LÖW 29*24'58"					
	A*	A	A	A	A					

Vom 18. bis zum 20. 9. 2013 sind Venus, Saturn und aufsteigender Mondknoten in Dreifachkonjunktion.

Langsamläufer-Impulse	T*				2H*		H*		T*, H?*, H*	H*
Schnellläufer-Impulse	H, T	H	Hf	T, 2H	2T, Hf	T	2H	2 T	2T, H	T
Temperaturimpulse	K			W	2W			K, W*	K, W	W, K
Premeteo-Index -zyklonal, + antizyklonal (Index 1+2+3)	-8	-7	7	38	2	-6	9	19	10	20
Pre.IX (ALTERNATIV)						8			6	11
Index 1 (12 - 12 UTC) exakte Aspekte des Tages	-8	-7	0	10	13	1	9	5	3	8
Index 1 (ALTERNATIV)									-1	
Symmetrien (0 - 0 UTC)	Jun 5op Mar Pal (08) H A* +7? Ura 8op Hau Mer (09) H? (5/1,5) T +7?	GSZ 3 Mak Mer (14) ? H +7? Mar 149 Plu Chi (21) H A A? (3/3) +7	Chi 10op Son Ves (05) T A* -7? Cer 4op Nep Chi (08) A* H* +7? Mak 8 Son Mer (18) A H +7? GSZ 31 Ven Ves (18) A H* A +7	Mer 30 Sat Cer (05) A Hf A* +14 Ves 30 Pal GSZ (07) A* H* A +7 Nep 2op Ves Orc (11) A* ? ? Orc 3 Ves Cer (18) H* A* ---	Sed 135 Plu Mer (06) A? (2/2,5) A A ? Jun 8op Mar Var (17) H H* +7? Hau 68 Mar GaZ (22) T ---	Mer 9 Hau GSZ (01) A H +7? Sat 164 Sed Eni (03) H? (3/0) +7? GSZ 9 Son Mer (04) T H -7? Sat 45 Son Qua (06) A H? (2/4,5) H +7? Mer 75 Var GaZ (14) T? (1/4) -14/0	Pal 143 Chi GaZ (11) H* A* ? +7 Ven 164 Sed Eni (15) H? (3/0) +7? Son 165 Ura Chi (17) H? (8/3) +7	Mak 3 Son GSZ (02) A ? ? Mer 71 Pal GaZ (04) A T A* -7 Ven 60 Plu Cer (13) T K A W A* --- Chi 144 Pal Mer (22) H* A A +7	Mer 6op Ura Eni (00) T T -7? Son 22 Orc Hau (03) T ---	
Index 2 (12 - 12 UTC)	0	0	7	28	0	-7	0	7	0	7
Index 2 ALTERNATIV						7				
ausgelöste LL-Aspekte					von Konjunktions-Symmetrie: Orc 45 Hau T-11			Sat 45 Qua H7	(Ven 45 Qua T-2) Sat 45 Qua H7	Sat 45 Qua H7 Orc 45 Hau T-11 Ura 144 Orc H7 (6,0,5) +9/0
Index 3 (Summe)	0	0	0	0	-11	0	0	7	7	5
Index 3 ALTERNATIV										-4
Symbol-Prognose	3	3	3	2	3	3	3	2	2	2
	3	3	3	2	3	3	3	2	3	2
Wochentag	Mi	Do	Fr	Sa	So	Mo	Di	Mi	Do	Fr
Datum	11	12	13	14	15	16	17	18	19	20
reale Wetterlage			H2: Hf, 2H - T / +45		T2: 3T - 2H*, Hf / -4		H3: H*, 2H / + 9	T3: 2T / +19	H4:	→
Luftdruck (hpa) 06 UTC	1017,3	1017,4	1022,8	1017,5	1011,1	1008	1009,4	1001,6	1015	1017,1
mittl. Temp. (°C)	12	13,1	15	16,7	15,7	13,2	11,3	15,1	7,9	13,5
Sonnenscheindauer (h)	-	-	6,7	0,1	1,3	0,9	1,9	2,7	2,9	9
Niederschlag (Liter)	11 / 10	/ 9	0,5 / 2	6 / 5	14 / 4,5	7 / 8	7 / 9	6,0 / 15,5	0,0	0,0 / 2
Bodenwetterlage 00 UTC (Kernlage des Druckgebiets, das SW-D beeinflusst)	T ü Benel	T ü W-Osee	Arorenhoch	fl Keil von Azor-H, T ü Nsee	T ü F	T ü Nm	Azor-H	T ü Benel	Azor-H, T ü NO-D	fl Keil von Azor-H, okki T ü Nsee
Bodenströmung 12 UTC zyklonal (z), antizyklonal (a) Strömung auf 500 hpa 00 UTC	a-z	a-z	a	a-z	z	z	a	fl z	a	fl a
zutreffende Wettersymbole	5 hr	5 hr	3-5 r	5 r	5 hr	5 hr	5 hr	5 f	3-5 f	5 f

MAR 150 PLU LÖW 09°00'42" STE 09°00'42" H ---	MER 30 ORC WAA 04°56'35" JUN 04°56'35" H +1	VEN 30 GSZ SKO 02°14'52" WAA 02°14'53" A	VEN 120 NEP SKO 03°28'35" FIS 03°28'35" T W -2	MER 135 SED WAA 09°18'13" STI 24°18'12" A	SAT 60 CER SKO 08°28'46" JUN 08°28'46" A*	SON 120 SED JUN 24°17'44" STI 24°17'43" H +3	PAL 30 VES LÖW 03°37'14" JUN 03°37'14" A*	VEN 60 PLU SKO 08°59'27" STE 08°59'26" T K ----	VEN 45 EL6 JUN 04°31'07" WAA 19°31'06" A*	06:41	07:21	04:59	06:34	01:11	00:57	00:34	01:24	00:09	
MER 150 NEP WAA 03°32'57" FIS 03°32'59" A K	MAR 90 KN1 LÖW 10°05'27" SKO 10°05'26" A	MER 30 CER WAA 07°30'47" JUN 07°30'46" Hf +7	MAR 30 APO LÖW 10°54'17" KRE 10°54'17" H +4	VEN 30 GSZ WAA 02°14'53" Hf +5	MER 150 CHI WAA 10°51'54" FIS 10°51'55" A*	PLU 120 CER STE 08°59'34" JUN 08°59'34" A*	VEN 45 QUA SCH 23°28'13" T ---	CER 144 JUN WAS 03°56'11" T* -5/0 A	MER 90 JUP WAA 16°58'40" KRE 16°58'39" A	10:44	23:54	21:54	07:03	02:00	01:16	04:05	14:57	06:00	02:22
MER 144 KN2 WAA 04°09'09" STI 10°09'11" A			JUN 135 ERI WAA 09°27'13" WID 22°41'35" A*	MER 144 NEP FIS 03°27'15" T W -1	SON 90 QUA JUN 23°27'36" SCH 23°27'35" H +3	MER 60 MAR WAA 12°47'12" LÖW 12°47'12" A	PAL 180 JUN LÖW 03°57'31" WAS 03°57'32" H? (6,0,5) +9/0	URA 144 ORC JUN 05°06'03" JUN 10°25'43" A W	VEN 60 CER SKO 10°25'43" JUN 10°25'43" A W	19:38			07:25	03:29	04:00	07:18	16:03	06:09	08:04
JUP 45 VES KRE 15°47'14" JUN 00°47'14" T* -5			MAR 150 CHI LÖW 10°56'36" FIS 10°56'37" A	SON 150 ERI JUN 22°41'04" WID 22°41'03" Hf +9	SON 45 SAT JUN 23°29'43" SKO 08°29'42" A	NEP 180 VES FIS 03°23'34" JUN 03°23'34" A*	MER 72 GaZ WAA 14°56'17" SCH 26°56'19" T -1	SON 60 VAR JUN 26°29'04" KRE 26°29'04" T ---	VEN 120 CHI SKO 10°39'42" FIS 10°39'41" A K	22:02			08:32	08:54	04:52	13:33	17:27	06:25	12:58
SON 30 EL6 JUN 19°20'28" WAA 19°20'28" A			MER 30 SAT WAA 08°19'32" SKO 08°19'33" A	MER 30 KN1 WAA 09°57'34" SKO 09°57'35" A	MER 90 APO WAA 11°07'09" KRE 11°07'08" T -1	SON 45 KN1 JUN 24°50'51" SKO 09°50'51" H +6	VEN 150 JUN JUN 03°57'15" WAS 03°57'15" A*	VEN 0 KN1 SKO 08°44'02" SKO 08°44'03" A W	PAL 30 ORC LÖW 05°08'06" JUN 05°08'06" A	22:29			10:14	11:16	05:13	14:09	18:46	17:28	19:10
VEN 60 VES SKO 00°48'22" JUN 00°48'22" A			MER 72 VAR WAA 08°24'47" WID 08°24'47" H +1	PAL 60 GSZ LÖW 02°14'53" WAA 02°14'53" A*	MER 180 URA WAA 11°12'53" WID 11°12'53" T -4	NEP 150 PAL FIS 03°23'27" LÖW 03°23'27" H* +5	VEN 0 SAT SKO 08°45'17" SKO 08°45'17" AK	SON 90 GaZ JUN 26°56'20" SCH 26°56'18" H +3	CHI 180 CER FIS 10°38'56" JUN 10°38'56" H* 0/ +5	23:01			13:25	14:44	10:32	15:28	20:55	17:35	19:44
MER 120 JUN WAA 04°23'21" WAS 04°23'22" A			CHI 120 APO FIS 10°56'03" KRE 10°56'03" A*	VEN 60 ORC SKO 05°01'07" JUN 05°01'08" A	MER 72 QUA WAA 11°27'39" SCH 23°27'39" A		CER 60 KN1 JUN 09°46'41" SKO 09°46'41" A* W*	MAR 45 FY9 LÖW 14°17'57" LÖW 14°59'24" STE 08°59'23" T -4	MAR 144 PLU LÖW 14°59'24" STE 08°59'23" T -4	23:08			13:25	14:44	10:32	15:28	21:37	17:35	20:16
SON 135 JUN JUN 19°23'15" WAS 04°23'16" T -3			MER 90 PLU WAA 08°59'53" STE 08°59'54" A	SON 72 APO JUN 23°04'08" KRE 11°04'07" T W ---	PAL 144 GaZ LÖW 02°56'19" SCH 26°56'19" A*		MER 72 PAL WAA 16°36'45" LÖW 04°36'45" A	VEN 150 URA SKO 11°02'16" WID 11°02'17" A		23:38			20:30	18:22	19:56		20:26	20:53	
VEN 90 JUN SKO 04°09'47" WAS 04°09'49" A			VEN 90 JUN SKO 04°09'47" WAS 04°09'49" A	SAT 45 QUA SKO 08°27'30" SCH 23°27'30" H? (12/4,5) +7	URA 90 APO WID 11°11'32" KRE 11°11'32" A*		MER 144 CHI WAA 16°41'23" FIS 10°41'24" A	MER 144 SED WAA 18°16'37" STI 24°16'37" A		20:53			20:53	19:41	20:59		21:41	23:37	
MAR 120 URA LÖW 11°16'04" WID 11°16'04" A			MAR 135 GaZ LÖW 11°56'20" SCH 26°56'20" T -4				CHI 144 PAL FIS 10°41'11" LÖW 04°41'12" H* +5			20:58			22:43				23:39		

Vom 18. bis zum 20. 9. 2013 sind Venus, Saturn und aufsteigender Mondknoten in Dreifachkonjunktion.

Langsamläufer-Impulse	H*						H*		H*	T*
Schnellläufer-Impulse	2H	2T	T	Tf, H	T	T, H, Hf	Tf		H	
Temperaturimpulse	K, W	W, W?*			K*	K?, W		K	W*	
Premeteo-Index -zyklonal, + antizyklonal (Index 1+2+3)	7	2	-12	-8	1	3	14	-2	0	14
Pre.IX (ALTERNATIV)	3	-7	-21					5		
Index 1 (12 - 12 UTC) exakte Aspekte des Tages	2	-3	-1	-8	-6	1	7	0	2	-5
Index 1(ALTERNATIV)	7									
Symmetrien (0 - 0 UTC)		Ura 9op GSZ Mer (00) H?*(3/1) T +7? Var 9 Jup Pal (00) T A* -7?	Mer 22 Ven Mak (07) T -14 Son 1 Mak GSZ (17) A T -7 Ura 9op Hau GSZ (18) H?*(5/1,5) H?*(3/1) +7? Mak 23 Ves Mer (22) T ---	Pal 73 Sed Hau (02) A* A* H?(7/1) ---	Mer 22 Ven GSZ (00) H 0 Ura 9op Son Hau (01) H H?*(5/1,5) +7? Ura 144 Ven Orc (15) A H?*(4/2) A +7? GSZ 44 Ven Mar (16) H A A K +7 Sed 151 Qua Mer (17) A*(9) A H 0	Eri 3op Hau Mer (03) T -7 Chi 3op Ves Cer (14) A* H* +7	GSZ 3 Son Mak (23) T ? -7/0		Pal 149 Plu Chi (02) A* T* A?*(3/3) -7	Ven 72 Jun Ves (05) A H H? +14 Chi 5op Orc Cer (17) T?*(2/4) H* -7?
Index 2 (12 -12 UTC)	0	0	-14	-7	0	-7	7	-7	-7	14
Index 2 ALTERNATIV								0		
ausgelöste LL-Aspekte	Sat 45 Qua H7 Orc 45 Hau T-11 Ura 144 Orc H?*(6/0,5) +9/0	Sat 45 Qua H7 Orc 45 Hau T-11 Ura 144 Orc H?*(6/0,5) +9/0	Ven 45 Mak T-2 Sat 45 Qua H7 Orc 45 Hau T-11 Ura 144 Orc H?*(6/0,5) +9/0	Sat 45 Qua H7	Sat 45 Qua H7 Nep 150 GSZ 70 #	(Ven 45 GSZ H2) Sat 45 Qua H7 Nep 150 GSZ 70 #	von Konjunktions-Symmetrie: Nep 150 GSZ 70 #	Pal 90 Sat H5	Pal 90 Sat H5	Pal 90 Sat H5
Index 3 (Summe)	5	5	3	7	7	9	0	5	5	5
Index 3 ALTERNATIV	-4	-4	-6							
Symbol-Prognose	3	3	5	3	3	3	2	3	3	2
Wochentag	Sa	So	Mo	Di	Mi	Do	Fr	Sa	So	Mo
Datum	21	22	23	24	25	26	27	28	29	30
reale Wetterlage	4H*, Hf, 5H - T*, 2Tf, 8T - H? / +37							T4: H*, H / -2		H5: T* / +14
Luftdruck (hpa) 06 UTC	1026,3	1029,4	1026,9	1019	1013,2	1013,2	1016	1012,5	1006,8	1007,1
mittl. Temp.(°C)	13,5	13,2	14,6	13,4	16,3	18,3	15,1	13,9	14,8	12,6
Sonnenscheindauer (h)	9	10,9	11,1	6,3	10,1	2,6	4,3	2,6	3,3	6,3
Niederschlag (Liter)	.	.	.	.	0,7	0,2	.	0,3	.	.
Bodenwetterlage 00 UTC (Kernlage des Druckgebiets, das SW-D beeinflusst)	H ü F	H ü W-D	H ü Belgien u CH	H ü W-D	H ü CH, T ü Nsee	H ü Italien, T ü N-D	H ü Nsee	T ü O-Atlantik	T ü NW-F	H ü S-Scand, fl T ü GG
Bodenströmung 12 UTC zyklonal (z), antizyklonal (a)	a	a	a	a	fl z	a-z	fl a	fl z	z	fl a
Strömung auf 500 hpa 00 UTC	NW a	NW a	Na	NW fl a	Wa	NW fl a	NW a	NW a-z	S fl a	fl a
zutreffende Wettersymbole	3 r	2 hr	2 f	2-3 f	2-5 r	3-5 hr	2-5 hr	3-5 r	5 hr	3 hr

00:08	02:16	02:19	00:13	02:55	00:59	00:04	06:28	02:40	03:21
MER 135 NEP WAA 18°18'29" FIS 03°18'29" A K	SON 72 JUP JUN 29°14'48" KRE 17°14'48" T W -3	JUP 72 FY9 JUN 29°22'42" KRE 11°57'11" A*	MER 180 ERI WAA 22°36'28" LÖW 17°38'16" TI -7	MAR 30 JUP LÖW 17°38'17" KRE 17°38'16" A	MER 135 CHI WAA 25°25'16" FIS 10°25'15" T -1	PAL 135 QUA LÖW 08°31'25" SCH 23°31'25" H* +5	SON 30 ORC WAA 05°17'47" FIS 03°07'15" A*	JUP 135 NEP KRE 18°07'15" FIS 03°07'15" A* W*	VES 60 KN1 JUN 09°10'59" SKO 09°10'58" A*
02:43	04:59	16:53	11:46	03:52	02:53	03:53	09:28	02:46	04:53
URA 144 VES WID 11°01'43" JUN 05°01'43" A*	SON 0 FY9 JUN 29°21'26" JUN 29°21'27" A*	CER 60 APO JUN 11°57'11" KRE 11°57'11" A*	MAR 45 GSZ LÖW 17°14'53" WAA 02°14'53" T -6	SON 0 GSZ WAA 02°14'53" WAA 02°14'53" T -6	SON 150 NEP WAA 03°11'17" FIS 03°11'16" TI -7	MER 60 GaZ WAA 26°56'17" SCH 26°56'16" A*	PAL 90 KN1 LÖW 09°16'31" SKO 09°16'31" A	MER 30 FY9 WAA 29°31'12" JUN 29°31'13" A*	CHI 150 PAL FIS 10°14'50" LÖW 10°14'51" T* -5
05:43	06:58	19:42	15:38	04:36	07:14	05:00	11:50	10:41	13:04
SAT 60 PLU SKO 08°59'24" STE 08°59'24" A*	MER 45 ORC WAA 20°10'03" JUN 05°10'04" A	VEN 45 FY9 SKO 14°23'43" JUN 29°23'44" T -2	MER 60 QUA WAA 23°30'20" SCH 23°30'21" H +1	MER 150 SED WAA 24°15'17" STI 24°15'17" A	SON 45 MAR WAA 03°21'56" LÖW 18°21'57" A	MER 72 PLU WAA 27°00'02" STE 09°00'04" A	MAR 60 EL6 LÖW 19°42'52" WAA 19°42'52" A	SAT 90 PAL SKO 09°50'27" LÖW 09°50'26" H* ---	VEN 72 JUN SKO 21°58'60" WAS 03°58'59" A
08:55	16:57			09:03	07:42	21:22	12:38	14:50	22:23
VES 0 ORC JUN 05°08'52" JUN 05°08'52" H* ---	MER 45 VES WAA 20°45'47" JUN 05°45'46" T -1			PAL 72 EL6 LÖW 07°38'29" WAA 19°38'29" A*	SON 144 KN2 WAA 03°23'05" STI 09°23'06" A K?	PLU 150 PAL STE 09°00'12" LÖW 09°00'12" A*	VEN 30 EL6 SKO 19°42'56" WAA 19°42'55" A	VEN 72 VES SKO 20°56'36" STE 09°00'41" H +2	URA 120 PAL WID 10°38'15" LÖW 10°38'15" A*
10:52	18:33			12:30	08:09	13:32	18:23		
VEN 120 APO SKO 11°42'08" KRE 11°42'08" H W +2	CER 45 VAR JUN 11°31'55" KRE 26°31'56" A* W?*			SAT 0 KN1 SKO 09°25'39" SKO 09°25'39" A*(6,5/4) K*	VEN 45 GSZ SKO 17°14'55" WAA 02°14'54" H +2	VEN 90 MAR SKO 19°45'28" LÖW 19°45'28" A K	PLU 120 VES STE 09°00'41" JUN 09°00'41" A*		
14:49	20:39			23:24	08:18	23:16			
URA 150 CER WID 11°00'32" JUN 11°00'32" A*	PAL 72 SED LÖW 06°16'03" STI 24°16'02" A*			VEN 144 URA SKO 16°50'11" WID 10°50'12" A	VEN 72 ORC SKO 17°15'20" JUN 05°15'20" A	MER 45 CER WAA 29°19'48" JUN 14°19'48" A			
15:51				15:49					
VEN 45 GaZ SKO 11°56'19" SCH 26°56'18" H +4				VES 135 ERI JUN 07°34'57" WID 22°34'58" A*					
20:51				19:31					
MER 0 EL6 WAA 19°33'38" WAA 19°33'38" A				SON 120 JUN WAA 03°52'03" WAS 03°52'03" Hf +9					
				21:02					
				VEN 120 JUP SKO 17°51'18" KRE 17°51'18" A W					
				21:33					
				MER 90 VAR WAA 26°34'60" KRE 26°34'59" A					